

آنتن حلزونی ارشمیدسی چهاربازویی در باند فرکانسی ۲ تا ۴ گیگاهرتز برای سیستم‌های ردگیری مونوپالس اهداف هوایی

علی‌اکبر دسترنج^۱، استادیار

۱- دانشکده فنی و مهندسی - دانشگاه یاسوج - یاسوج - ایران - dastranj@yu.ac.ir

چکیده: در این مقاله، یک آنتن حلزونی چهاربازویی در باند فرکانسی ۲ تا ۴GHz با ویژگی‌های تشعشعی مطلوب برای استفاده در سیستم‌های جهت‌یابی و ردگیری مونوپالس اهداف هوایی ارائه شده است. آنتن طراحی شده، از سه بخش اصلی تشعشع کننده حلزونی ارشمیدسی چهاربازویی، بالن چهاربازویی و محفظه فلزی استوانه‌ای تشکیل شده است. بالن چهاربازویی شامل چهار خط ریزنوار با باریک‌شوندگی خطی است و امپدانس ورودی تشعشع کننده حلزونی را به صورت خطی به امپدانس استاندارد Ω ۵۰ در پورت‌های تغذیه آنتن تبدیل می‌کند. نقش محفظه فلزی استوانه‌ای، تک‌جهته نمودن پرتو تشعشعی و درنتیجه افزایش بهره آنتن است. نتایج حاصل از شبیه‌سازی آنتن با نرم‌افزارهای HFSS و CST نشان می‌دهند که با استفاده از امواج دریافتی از چهار پورت این آنتن، الگوهای تشعشعی مجموع و تفاضل بسیار مناسب با قطبی شدگی دایروی ایجاد می‌شوند. مقدار متوسط ایزولاسیون بین پورت‌های مختلف آنتن تقریباً ۲۸dB و میزان تلفات بازگشته هر چهار پورت ورودی در کل باند فرکانسی کمتر از ۱۰dB است. همچنین بهره آنتن در حالت مجموع و عمق صفر ایجاد شده در حالت تفاضل در فرکانس مرکزی ۳GHz، به ترتیب ۶/۵dB و ۳۵/۱۸dB است.

واژه‌های کلیدی: الگوهای تشعشعی مجموع و تفاضل، آنتن حلزونی ارشمیدسی، بالن چهاربازویی، ردگیری مونوپالس.

Four-Arm Archimedean Spiral Antenna at 2-4 GHz Frequency Band for Airborne Targets Mono-pulse Tracking Systems

A. A. Dastranj^۱, Assistant Professor

۱- Faculty of Engineering, Yasouj University, Yasouj, Iran, Email: dastranj@yu.ac.ir

Abstract: In this paper, a four-arm spiral antenna at 2-4 GHz frequency band with desirable radiation characteristics for use in direction finder and airborne targets mono-pulse tracking systems is presented. The designed antenna consists of three main parts, four-arm Archimedean spiral radiator, four-arm balun, and cylindrical metallic cavity. The four-arm balun contains four microstrip lines with linear tapering, and convert the input impedance of the spiral radiator to the 50Ω standard impedance at the antenna feeding ports, linearly. Role of the cylindrical metallic cavity is uni-directing, and consequently increasing the antenna gain. The simulation results of the antenna obtained via HFSS and CST software packages show that by using the received waves from the four ports of this antenna, much appropriate sum and difference radiation patterns with circular polarization are achieved. The average value of the isolation between the different ports of the antenna is nearly 28dB and the return loss of the four input ports at the entire frequency band is lower than 10dB. Also, the antenna gain of sum mode and null depth of difference mode at the center frequency, 3GHz, are 6.58 and 35.18dB, respectively

Keywords: Sum and difference radiation patterns, archimedean spiral antenna, four-arm balun, mono-pulse tracking.

تاریخ ارسال مقاله: ۱۳۹۵/۰۶/۰۴

تاریخ اصلاح مقاله: ۱۳۹۵/۰۸/۲۷

تاریخ پذیرش مقاله: ۱۳۹۵/۱۰/۰۴

نام نویسنده مسئول: علی‌اکبر دسترنج

نشانی نویسنده مسئول: ایران - یاسوج - میدان معلم - خیابان دانشجو - دانشکده فنی و مهندسی.

۱ - مقدمه

بازه‌های ۲/۵-۲/۵ و ۲/۵-۴GHz به ترتیب کمتر از ۰/۸۴dB و ۰/۳۶dB است که به قطبی شدگی دایروی ایده‌آل بسیار نزدیک است. مقدار متوسط ایزولاسیون بین پورت‌های مختلف آنتن نیز حدود ۲۸dB و حداقل مقدار ایزولاسیون در بدترین شرایط در ابتدای باند فرکانسی ۱۵dB است. میزان تلفات بازگشتی برای هر چهار پورت ورودی در کل باند فرکانسی کمتر از ۱۰dB است. بهره آنتن در حالت^{۱۳} مجموع و عمق صفر^{۱۴} ایجاد شده در حالت تفاضل در فرکانس مرکزی ۳GHz به ترتیب ۶/۵۸dB و ۳۵/۱۸dB است. با توجه به نتایج به دست آمده، این آنتن یک گزینه بسیار مناسب برای استفاده در سیستم‌های جنگ الکترونیک بهویژه سیستم‌های ردگیر مونوپالس است. روند طراحی آنتن و جزئیات کامل آن در بخش‌های بعد از این و بحث شده است.

۲ - طراحی آنتن

آنتن‌های حلوونی مسطح به دو دسته اصلی ارشمیدسی و لگاریتمی تقسیم می‌شوند. در آنتن ارشمیدسی بهنای بازوها ثابت بوده و فاصله بین بازوها در تمام طول مسیر بدون تغییر باقی می‌ماند؛ در حالی که در آنتن لگاریتمی با دور شدن از مرکز به انتهای بازوها، بهنای بازوها و فاصله بین آنها افزایش می‌یابد. همان‌طور که در بخش قبل ذکر شد، آنتن‌های حلوونی رفتار امپدانسی مختلط دارند. در این نوع آنتن‌ها در فرکانس‌های پایین به‌دلیل بازتاب انرژی از انتهای بازوها به‌سمت مرکز آنتن، امپدانس نوسانی ایجاد می‌گردد. از طرفی در آنتن‌های حلوونی ارشمیدسی با پیچش زیاد در فرکانس‌های بالاتر، جایی که بیشینه محیط آنتن بزرگ‌تر از طول موج است، امپدانس به یک مقدار مقاومتی ثابت همگرا می‌گردد و این نکته یک ویژگی کلیدی برای آنتن حلوونی ارشمیدسی است. همچنین آنتن ارشمیدسی با پیچش زیاد و بهنای بازوی کم، نسبت به آنتن لگاریتمی ابعاد کمتری را اشغال می‌کند. بنا بر دلایل فوق، در این مقاله، آنتن حلوونی ارشمیدسی چهاربازویی انتخاب و طراحی شده است. در شکل ۱ هندسه تشعشع کننده‌های مسطح حلوونی ارشمیدسی دوبازویی و چهاربازویی نشان داده شده است. بازوی آنتن ارشمیدسی از رابطه $r = ar\varphi + r_i$ طراحی می‌شود که a ، r_i و φ به ترتیب شعاع داخلی، نرخ رشد و زاویه در حال چرخش بازوها هستند^[۱۰، ۹].

با توجه به روابط موجود برای طراحی آنتن ارشمیدسی دو بازویی، جهت محاسبه پارامترهای طراحی آنتن چهاربازویی از معادلات زیر استفاده می‌شود^[۶]:

$$a_{(4-arm)} = 2 \times \frac{w_A + s_A}{\pi} \quad (1)$$

$$w_{A,(4-arm)} = \frac{r_o - r_i}{4N} - s_A \quad (2)$$

در روابط فوق، w_A و s_A به ترتیب پهنا و فاصله بازوها هستند و N تعداد دور بازوها است. برای حالتی که نرخ رشد کوچک‌تر از ۲ باشد شعاع داخلی و خارجی از روابط زیر به دست می‌آیند:

آنتن‌ها یکی از مهم‌ترین اجزای سیستم‌های مخابراتی نظامی و تجاری هستند^[۱-۳]. آنتن‌های حلوونی^۱ به‌دلیل دارا بودن ویژگی‌های منحصر به فرد از جمله پهنا باند وسیع، قطبی شدگی دایروی^۲، حجم کم، وزن سبک، سهولت در مجتمع‌سازی و ثابت بودن الگوی تشعشعی، امپدانس، قطبی شدگی و مرکز فاز در سرتاسر یک باند فرکانسی وسیع، کاربرد زیادی در سیستم‌های مخابراتی، هشداردهنده، جنگ الکترونیک و سیستم‌های ردگیری دارند^[۴]. این نوع آنتن‌ها رفتار امپدانسی مختلطی در کل باند فرکانسی از خود نشان می‌دهند^[۵]. همچنین، این دسته از آنتن‌ها امپدانس ورودی بالایی دارند و از طرفی باید با امپدانس استاندارد ۵۰Ω تغذیه شوند. برای بطرف کردن این عدم تطبیق امپدانس، از ساختار بالن^۳ جهت تطبیق امپدانس استفاده می‌شود. تحقق بالن پهن باند از مهم‌ترین مراحل طراحی آنتن حلوونی بوده و در بخش طراحی آنتن به آن پرداخته می‌شود. آنتن حلوونی مسطح، میدان‌هایی با قطبی شدگی دایروی در دو جهت صفحه ایجاد می‌کند و از آنجایی که در اکثر کاربردها نیاز به پرتو تک‌جهته^۴ است، تبدیل پرتو دوچهته^۵ به پرتو تک‌جهته در این آنتن‌ها لازم و ضروری است. این تبدیل می‌تواند با قرار دادن یک صفحه زمین، یا یک محفظه فلزی و یا یک صفحه زمین شکافدار در پشت آنتن تحقق پذیرد^[۶-۸].

در سیستم‌های ردگیری مونوپالس کلاسیک، ردگیری اهداف با استفاده از چهار آنتن مجزا صورت می‌گیرد. با استفاده از امواج دریافتی توسط این چهار آنتن، الگوهای تشعشعی مجموع و تفاضل برای ردگیری هدف ساخته می‌شوند و از مقایسه دامنه و فاز حالت‌های مجموع و تفاضل، جهت موج دریافتی از هدف به دست می‌آید. لازم به ذکر است استفاده از چهار آنتن در این سیستم‌ها، باعث بالا رفتن هزینه سیستم خواهد شد. در این مقاله به جای استفاده از چهار آنتن مجزا، یک آنتن حلوونی چهاربازویی طراحی شده است و با تحریک همزمان و همچنین فازدهی مناسب چهار پورت آنتن، الگوهای تشعشعی مجموع و تفاضل ایجاد شده‌اند. آنتن ارائه شده نسبت به آنتن‌های مونوپالس آرایه‌ای از سادگی و صرفه اقتصادی خوبی برخوردار است. آنتن ارائه شده، از سه بخش اصلی تشعشع کننده حلوونی ارشمیدسی چهاربازویی^۶، بالن چهاربازویی و محفظه فلزی استوانه‌ای تشکیل شده است. بالن چهاربازویی شامل چهار خط ریزنوار^۷ با باریک‌شوندگی خطی^۸ است و امپدانس ورودی تشعشع کننده حلوونی را به صورت خطی به امپدانس استاندارد ۵۰Ω در پورت‌های ورودی آنتن تبدیل می‌کند. نقش محفظه فلزی استوانه‌ای، تک‌جهته نمودن پرتو تشعشعی و درنتیجه افزایش بهره آنتن است. آنتن با استفاده از نرم‌افزارهای HFSS و CST شبیه‌سازی شده است. الگوهای تشعشعی مجموع و تفاضل^۹ به دست آمده در صفحات E و H در کل باند فرکانسی ۲ تا ۴GHz (باند راداری S) کاملاً مقارن و فاقد هرگونه گلبرگ فرعی^{۱۰} هستند. نسبت محوری^{۱۱} آنتن در راستای حداکثر تشعشع در

محفظه فلزی مستطیلی توخالی برای تعییه خط ریزنوار به همراه زیر لایه اش نشان داده شده است. همان طور که مشاهده می شود، ساختار پیشنهادی مانند یک موج نیمه پر شامل یک هادی مرکزی واقع در امتداد تقاطع هوا و دی الکتریک عمل می کند و بدنہ محفظه نقش صفحه زمین را برای خط ریزنوار ایفا می کند. پهنای اولیه خط ریزنوار از رابطه زیر بدست می آید [۱۱]:

$$\begin{cases} \frac{8e^A}{2e^A - 2} & \frac{w}{d} < 2 \\ \frac{2}{\pi} \left[B - 1 - Ln(2B - 1) + \frac{\varepsilon_r - 1}{2\varepsilon_r} \times \right] & \frac{w}{d} > 2 \\ \left(Ln(B - 1) + 0.39 - \frac{0.61}{\varepsilon_r} \right) \end{cases} \quad (5)$$

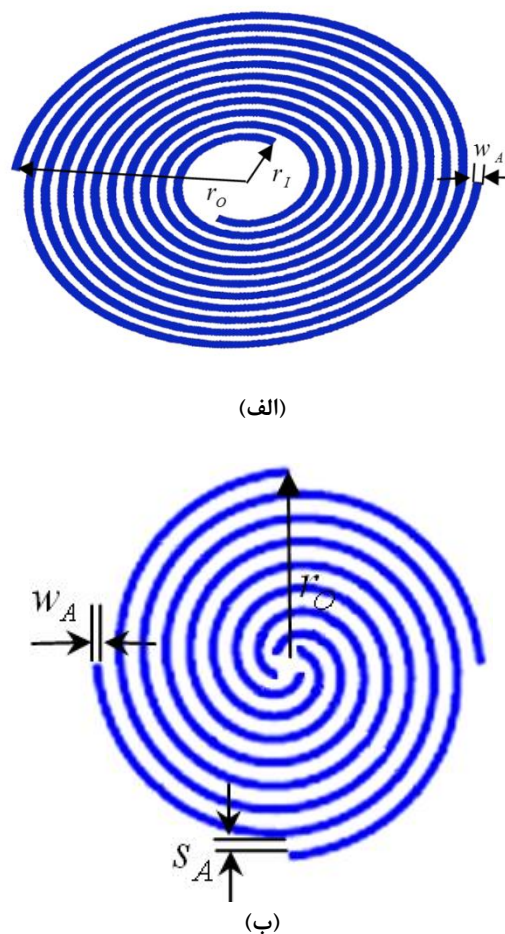
که w و d به ترتیب عرض ریزنوار و ارتفاع زیر لایه می باشند و ε_r ثابت دی الکتریک زیر لایه است. همچنین پارامترهای A و B از روابط زیر بدست می آیند:

$$A = \frac{Z_0}{60} \sqrt{\frac{\varepsilon_r + 1}{2}} + \frac{\varepsilon_r - 1}{\varepsilon_r + 1} \left(0.23 + \frac{0.11}{\varepsilon_r} \right) \quad (6)$$

$$B = \frac{377\pi}{2Z_0\sqrt{\varepsilon_r}} \quad (7)$$

در روابط فوق، Z_0 امپدانس مشخصه استاندارد (50Ω) خط ریزنوار است.

پس از تعیین ابعاد اولیه خط ریزنوار از روابط فوق، ساختار در محیط نرم افزار ترسیم و شبیه سازی شده و درنهایت پس از بهینه سازی، $w_1 = 1/3\text{mm}$ و $w_2 = 2/56\text{mm}$ به دست آمدند که به ترتیب پهنای خط میکرواستریپ در محل اتصال به بازوی آنتن با امپدانس 50Ω و تغذیه با امپدانس 50Ω می باشند. طول این خطوط برابر با نصف طول موج در فرکانس مرکزی آنتن است که مقدار 50mm را به خود اختصاص داده است. مقادیر به دست آمده از شبیه سازی برای ساختار فلزی مستطیلی عبارتند از: $a = 6\text{mm}$ ، $b = 3\text{mm}$ ، $h = 0.788\text{mm}$ و با اتصال چهار ساختار فلزی مستطیلی به یکدیگر ساختار نهایی بالن به دست می آید. جهت اتصال بالن به تشعشع کننده حلقه ای چهار بازویی، انتهای هر یک از خطوط ریزنوار باریک شونده به ابتدای بازوی بخش حلقه ای متصل می شوند. در شکل ۳ ساختار بالن چهار بازویی و نحوه اتصال آن به بازوی انتهای شده است. همان طور که در مقدمه بیان شد، آنتن حلقه ای مسطح میدان هایی با قطبی شدگی دایروی در دو جهت صفحه ایجاد می کند. از آنجایی که در اکثر کاربردها نیاز به پرتو تک جهته است، یکی از مهم ترین مراحل در طراحی این نوع آنتن ها، ارائه روشهای برای تبدیل پرتو دو جهته به پرتو تک جهته است. در این مقاله جهت یکسوزنودن پرتو، از یک محفوظه فلزی استوانه ای در پشت تشعشع کننده حلقه ای استفاده شده است.



شکل ۱: (الف) آنتن ارشمیدسی دو بازویی، (ب) آنتن ارشمیدسی چهار بازویی

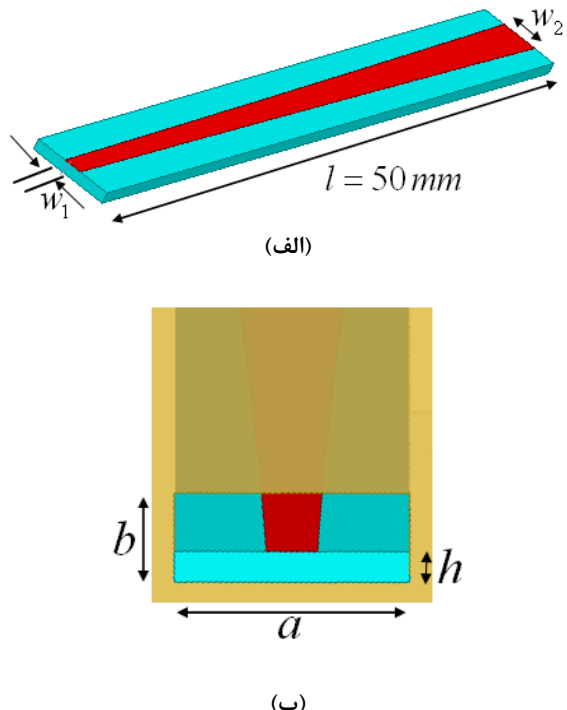
$$r_{in} = \frac{\lambda_{high} \times m_{lowest}}{6\pi} \quad (3)$$

$$r_o \geq \frac{(m_{highest} + 0.5)\lambda_{low}}{2\pi} \quad (4)$$

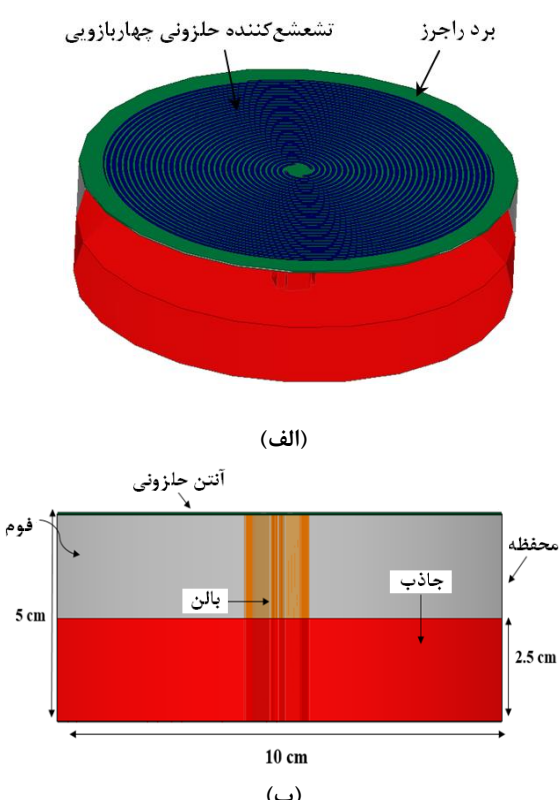
که λ_{high} و λ_{low} به ترتیب طول موج فرکانس بالا و پایین است و $m_{highest}$ و m_{lowest} بالاترین و پایین ترین مود (حالت) کاری موردنظر است. با استفاده از روابط فوق و پس از محاسبه و چندین بار شبیه سازی در نرم افزار HFSS مقادیر بهینه پارامترهای هندسی آنتن حلقه ای ارشمیدسی چهار بازویی به صورت زیر به دست آمدند: $S_A = 1/0.94\text{mm}$ ، $a = 1/5$ ، $w_A = 1/26\text{mm}$ ، $r_o = 80/17\text{ mm}$ ، $r_i = 4/8\text{mm}$ و $N = 8$. این عنصر روی زیر لایه ای از جنس Rogers RO5880 با ثابت دی الکتریک $2/2$ و ضخامت 31 mil طراحی شده است.

در مرحله بعد، به طراحی بالن چهار بازویی پرداخته می شود. بالن چهار بازویی شامل چهار خط ریزنوار مشابه و با باریک شوندگی خطی است و امپدانس ورودی 200Ω تشعشع کننده حلقه ای را به صورت خطی به امپدانس استاندارد 50Ω در پورت های تغذیه آنتن تبدیل می کند. در شکل ۲ ساختار یک خط ریزنوار با باریک شوندگی خطی و

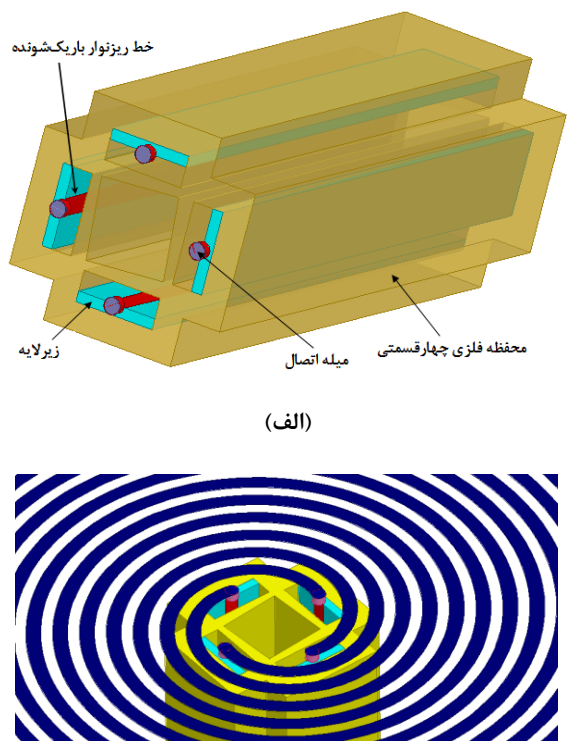
از طرفی وجود محفظه فلزی تطبیق امپدانس آنتن را تحت تأثیر قرار داده و درنتیجه باعث افزایش تلفات بازگشتی آنتن می‌شود. برای حل این مشکل از یک ماده جاذب مایکروروبویی درون محفظه استفاده شده است. درواقع حضور ماده جاذب باعث می‌شود اثرات ناشی از امواج بازتابی از دیوارهای محفظه تا حد امکان کاهش یابد و مشخصات پهن‌باند آنتن را بهبود می‌بخشد. با استفاده از بهینه‌سازی نرم‌افزاری، ماده جاذب کاسیتیریت^{۱۴} با ضریب دیالکتریک $\epsilon = 23/4$ و تانژانت تلفات $\delta = 0.06$ مورد استفاده قرار گرفته است. لازم به ذکر است محفظه فلزی کاملاً از ماده جاذب پر شده بلکه بین ماده جاذب و آنتن حلقه‌ای، ماده‌ای از جنس فوم با ثابت دیالکتریک $\epsilon = 1/0.3$ قرار گرفته است. ارتفاع محفظه برابر با ارتفاع بالن است که نیمه بالای آن را فوم و نیمه پایین آن را ماده جاذب پر کرده است. هدف از به کار بردن فوم، ایجاد یک بستر مناسب برای قرار گیری تشعشع‌کننده حلقه‌ای بر روی آن است و این ماده تأثیر قابل ملاحظه‌ای در کاهش اثرات تشعشعی ندارد. نمای سه‌بعدی و جانبی ساختار نهایی در شکل ۴ نشان داده شده است.



شکل ۲: (الف) خط ریزنوار با باریک‌شوندگی خطی، (ب) ساختار محفظه مستطیلی و ابعاد هندسی آن



شکل ۴: (الف) نمای سه‌بعدی و (ب) نمای جانبی آنتن حلقه‌ای چهاربازویی به همراه محفظه و بالن

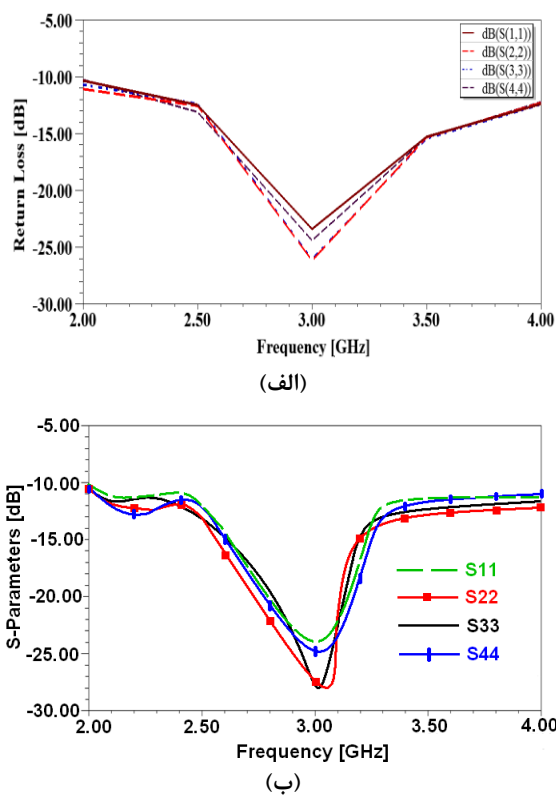


شکل ۳: (الف) ساختار بالن چهاربازویی (ب) نحوه اتصال بالن به بازوهای آنتن

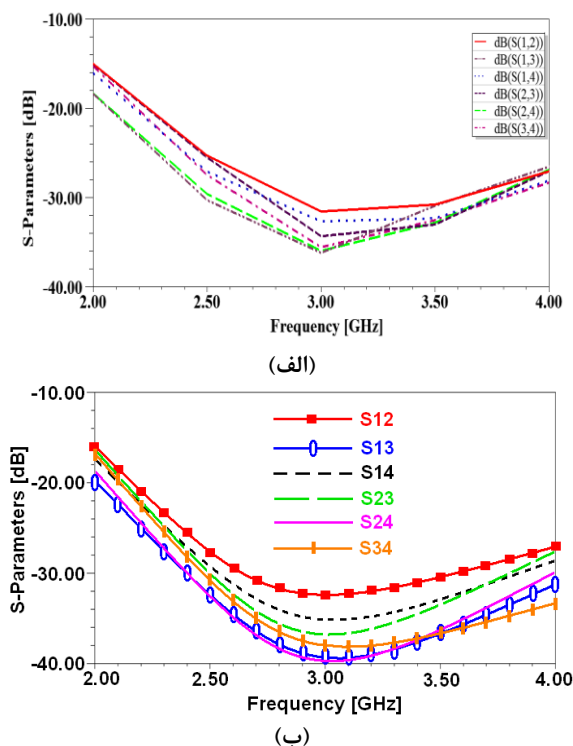
۳- نتایج شبیه‌سازی

آنتن طراحی شده در بخش قبل، در محیط نرم‌افزار HFSS پیاده و شبیه‌سازی شده است. همچنین به منظور تأیید (راستی‌آزمایی) نتایج

مجموع و عمق صفر ایجاد شده در حالت تفاضل در فرکانس مرکزی ۳GHz به ترتیب $B/58\text{dB}$ و $6/18\text{dB}$ است. در شکل ۱۲ نیز الگوهای



شکل ۵: تلفات بازگشتی پورت‌های مختلف آنتن، (الف) HFSS، (ب) CST

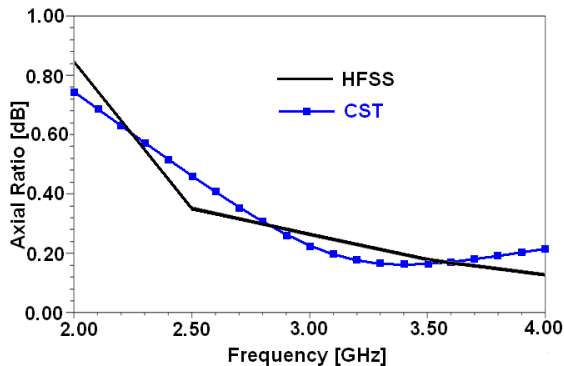


شکل ۶: ایزولاسیون بین پورت‌های مختلف آنتن، (الف) HFSS، (ب) CST

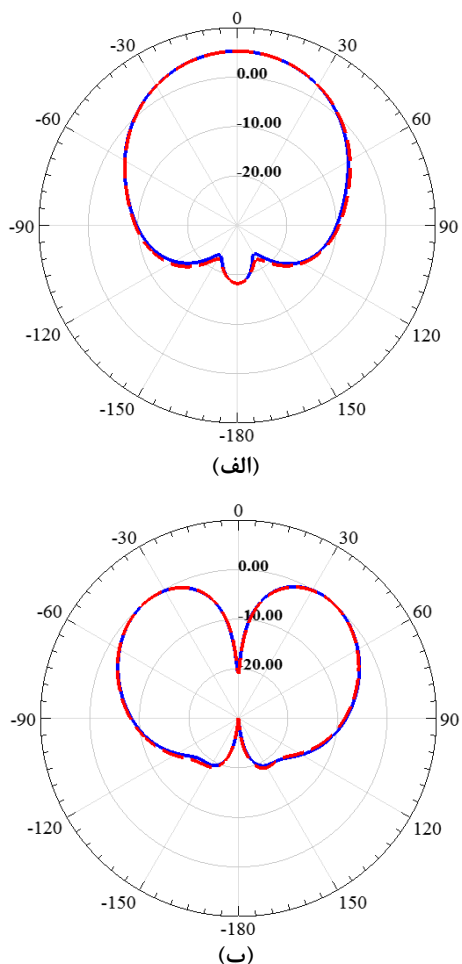
شبیه‌سازی، آنتن مجدداً با نرم‌افزار CST شبیه‌سازی شده است. تطابق خوبی بین نتایج حاصل از دو نرم‌افزار HFSS و CST وجود دارد. این تطابق صحت نتایج شبیه‌سازی را تأیید می‌کند. شکل ۵ ضرایب انعکاس را در چهار پورت ورودی نشان می‌دهد. با توجه به این شکل مشاهده می‌شود مقدار پارامترهای S_{22} , S_{33} و S_{44} در کل باند فرکانسی ۲ تا ۴GHz، کمتر از ۱۰dB هستند؛ بنابراین تطبیق امپدانس مناسب ایجاد شده است. همچنین میزان تزویج^{۱۵} بین پورت‌ها در نمودار شکل ۶ نشان داده شده است. همان‌طور که مشاهده می‌شود مقدار متوسط ایزولاسیون بین پورت‌های مختلف حدود ۲۸dB و حداقل مقدار ایزولاسیون در بدترین شرایط در ابتدای باند فرکانسی ۱۵dB است. این نتیجه نشان‌دهنده ایزوله‌بودن پورت‌های ورودی نسبت به یکدیگر می‌باشد. لازم به ذکر است که در شکل‌های ۵ و ۶ تطابق بسیار خوبی بین نتایج ناشی از دو نرم‌افزار مشاهده می‌شود.

شکل‌های ۷ و ۸ به ترتیب بهره و نسبت محوری آنتن را بر حسب فرکانس در جهت حداکثر تشعشع ($\theta=0^\circ$) نشان می‌دهند. همان‌طور که در شکل ۷ مشاهده می‌شود بهره آنتن پیشنهادی در ابتدا و انتهای باند فرکانسی به ترتیب بیشتر از ۵ و $3/8\text{dB}$ است. با توجه به شکل ۸ نسبت محوری آنتن در راستای حداکثر تشعشع در بازه‌های $2-5/2$ و $5-4/5\text{GHz}$ به ترتیب کمتر از $0/84\text{dB}$ و $0/36\text{dB}$ است. این مقادیر نشان می‌دهند که قطبی‌شدنی آنتن حلقه‌نی طراحی شده به قطبی‌شدنی دایروی ایده‌آل بسیار نزدیک است. در اینجا نیز نتایج ناشی از دو نرم‌افزار مطابقت خوبی با یکدیگر دارند. در شکل‌های ۵ الی ۸، در نتایج مربوط به نرم‌افزار HFSS تعدادی نقطه شکست دیده می‌شود. این پدیده به دلیل زمان شبیه‌سازی بالا است که باعث شده است نقاط شبیه‌سازی کم انتخاب گردد، در حالی که در نتایج به دست آمده توسط CST به دلیل زمان شبیه‌سازی کمتر، نقاط شکست وجود ندارند. شکل‌های ۹-۱۱ الگوهای تشعشعی مجموع و تفاضل را با استفاده از نرم‌افزار HFSS در فرکانس‌های ۲، ۳ و ۴GHz در صفحات E ($\varphi=0^\circ$) و H ($\varphi=90^\circ$) نشان می‌دهند. برای ایجاد الگوی تشعشعی مجموع، بازوهای مجاور با دامنه یکسان و با 90° درجه اختلاف فاز تعذیبه شده‌اند و برای ایجاد الگوی تشعشعی تفاضل، بازوهای مجاور نسبت به یکدیگر 180° درجه اختلاف فاز دارند و با بازوی روپرو هم‌فاز می‌باشند. با مراجعه به شکل‌های ۹-۱۱ مشاهده می‌شود که الگوهای تشعشعی آنتن کاملاً متقابران و فاقد هرگونه گلبرگ فرعی هستند. لازم به ذکر است که چرخش پرتو نسبت به جهت اصلی تشعشع، یکی از مهم‌ترین و رایج‌ترین معایب آنتن‌های حلقه‌نی است و با افزایش فرکانس نیز زیاد می‌شود. این انحراف پرتو برای بالنهای خوب تقریباً 3° درجه و تا 10° درجه برای بالنهای ضعیف افزایش می‌یابد [۱۲]. با توجه به شکل‌های ۹-۱۱، میزان چرخش پرتو آنتن طراحی شده نسبت به جهت اصلی تشعشع صفر درجه است. این ویژگی مهم با بهینه‌سازی پارامترهای هندسی آنتن فراهم شده است. جدول ۱ نیز مقادیر بهره و عمق صفر آنتن را در سه فرکانس مختلف ارائه می‌دهد. بهره آنتن در حالت

بنابراین، در رابطه با هزینه نهایی آنتن گلوگاه خاصی وجود ندارد. ساخت این آنتن در باند موردنظر یا باندهای بالاتر می‌تواند به عنوان پیشنهادی برای پژوهش‌های آینده مطرح گردد. به منظور بررسی صحت نتایج، آنتن با دو نرمافزار HFSS و CST شبیه‌سازی شده است. تطابق بین نتایج ناشی از دو نرمافزار، درستی نتایج را تأیید می‌کند.



شکل ۸: نسبت محوری آنتن بر حسب فرکانس در دو نرمافزار HFSS و CST

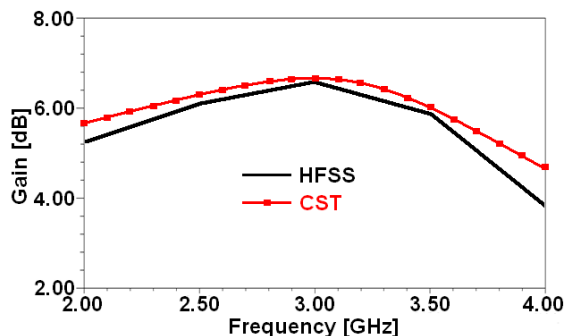


شکل ۹: الگوهای تشعشعی آنتن در فرکانس ۲ GHz، (الف) حالت مجموع، (ب) حالت تفاضل، (خطوط پیوسته صفحه E و خطوط گستته صفحه H)

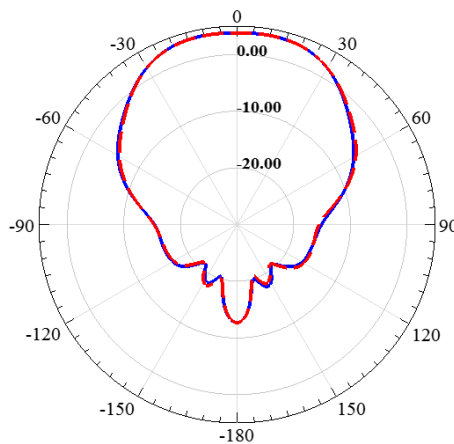
تشعشعی حالت مجموع با استفاده از نرمافزار CST در فرکانس‌های ۲ و ۳ GHz در صفحه E ($\varphi=0^\circ$) ارائه شده است. نتایج ارائه شده در این شکل نیز تطابق قابل قبولی با نتایج شکل‌های ۹ (الف) و ۱۰ (الف) دارند. سایر نتایج ناشی از نرمافزار CST نیز تطابق انتظار به دست آمدند که به دلیل زیاد بودن تعداد نمودارها در اینجا ارائه نشده‌اند.

با توجه به نتایج به دست آمده، کلیه پارامترهای تشعشعی آنتن دارای مقادیر بسیار مطلوب در سراسر باند فرکانسی ۲ تا ۴ GHz هستند؛ بنابراین این آنتن یک گرینه بسیار مناسب برای استفاده در سیستم‌های جنگ الکترونیک به ویژه سیستم‌های ردگیر مونوپالس است. یک مدار ساده با به کارگیری آنتن حلزونی چهاربازویی برای ایجاد الگوهای مجموع و تفاضل جهت استفاده سیستم‌های جهت‌یابی مونوپالس در شکل ۱۳ نشان داده شده است [۱۲]. شکل ۱۴ نیز یک دیاگرام جهت‌یاب مونوپالس با استفاده از این آنتن را نشان می‌دهد. این سیستم هم قادر به تشخیص زاویه سمت و هم قادر به تشخیص زاویه ارتفاع در هر برخورد پالس است. خروجی‌های این ترکیب سیگنال‌های مجموع (Σ) و تفاضل (Δ) می‌باشد که حاوی تمامی اطلاعات برای استخراج زاویه سمت و ارتفاع است. نسبت دامنه Σ به Δ مقدار زاویه ارتفاع، θ ، را نشان می‌دهد و اختلاف فاز بین Σ و Δ حاوی اطلاعات زاویه سمت (φ) است.

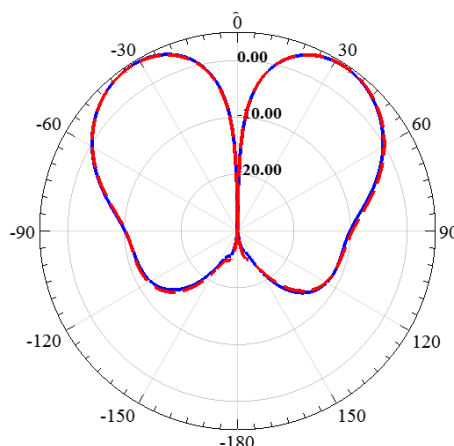
لازم به ذکر است با توجه به اینکه هزینه‌های مربوط به ساخت (با کیفیت بالا) و تست اولین نمونه از این آنتن تا حدودی بالا بوده و به دلیل عدم تأمین هزینه‌ها، در این مرحله از تحقیق امکان ساخت آن فراهم نگردید. برای ساخت اولین نمونه ممکن است که فرایند ساخت هر کدام از بخش‌های آنتن چند مرتبه تکرار شود. همچنین برای ساخت اولین نمونه باید نقشه‌های مکانیکی دو بعدی و سه بعدی تهیه گردد. به طور کلی ساخت اولین نمونه همواره ممکن است نیاز به انجام اصلاحات مکانیکی و تکرار مراحل ساخت داشته باشد. در صورتی که پس از ساخت نمونه اول، هزینه نمونه‌های بعد بسیار کاهش می‌یابند (زیرا لازم نیست نقشه مکانیکی تهیه گردد و یا اصلاحات مکانیکی انجام شود) و هرچه تعداد بالاتر باشد معمولاً هزینه‌ها کمتر می‌شوند.



شکل ۷: بهره آنتن در جهت حداکثر تشعشع ($\theta=0^\circ$) در دو نرمافزار CST و HFSS



(الف)



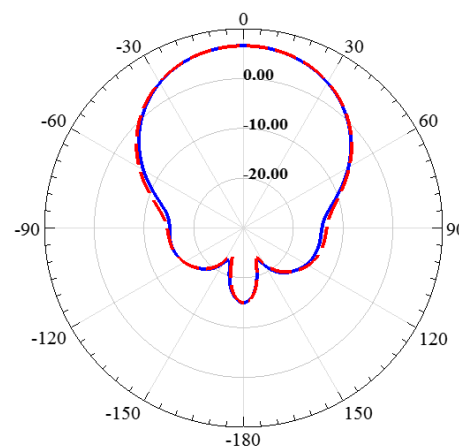
(ب)

شکل ۱۱: الگوهای تشعشعی آنتن در فرکانس ۴ GHz، (الف) حالت مجموع، (ب) حالت تفاضل، (خطوط پیوسته صفحه E و خطوط گسسته صفحه H)

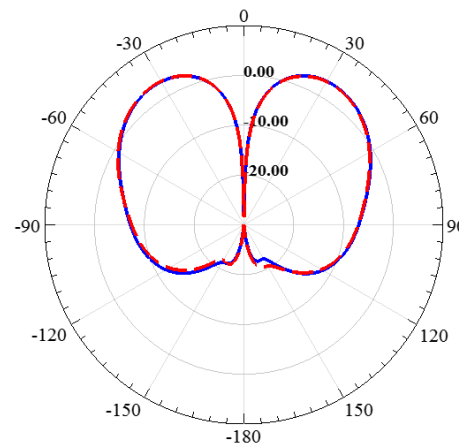
۴- نتیجه‌گیری

در این مقاله، یک آنتن حلقه‌ای ارشمیدسی چهاربازویی در باند فرکانسی ۲ تا ۴ GHz جهت به کارگیری در سیستم‌های جهتیابی و ردگیری مونوپالس طراحی شده است. برای ایجاد تطبیق امپدانس بین تشعشع کننده حلقه‌ای و پورت‌های تغذیه آنتن، یک بالن چهاربازویی شامل چهار خط ریزنوار با باریک‌شوندگی خطی طراحی شده است. همچنین به منظور تک‌جهته نمودن پرتو آنتن، یک محفظه فلزی استوانه‌ای، در پشت بخش حلقه‌ای قرار گرفته است. با فاژدهی مناسب به پورت‌های ورودی آنتن، الگوهای تشعشعی دو حالت مجموع و تفاضل ایجاد شده‌اند. نتایج شبیه‌سازی نشان داد که آنتن در کل باند دارای الگوهای پایدار و بدون گلبرگ فرعی است. سایر ویژگی‌های تشعشعی از جمله بهره، عمق صفر، ایزولاسیون، تلفات بازگشته و نسبت محوری نیز کاملاً مطلوب هستند.علاوه بر این، یکی از برجسته‌ترین ویژگی‌های آنتن طراحی شده، عدم چرخش الگو و انحراف از جهت اصلی تشعشع است. این ویژگی در کاربردهای مختلف به ویژه

زمان هر بار شبیه‌سازی آنتن با استفاده از یک سیستم با پردازنده چهارهسته‌ای ۳/۳ GHz و حافظه (RAM) ۱۶GB حدود ۱۲ ساعت است. وزن تقریبی آنتن نیز به ضخامت محفظه و بالن چهاربازویی وابسته است. با در نظر گرفتن ضخامت‌های استاندارد، وزن کل آنتن حدود ۴۰۰ گرم پیش‌بینی می‌گردد. البته این مقدار برای کاربردهای خاص مانند استفاده در سیستم‌های پرنده تا ۲۵۰ گرم قابل کاهش است. در جدول ۲ ویژگی‌های این آنتن با آنتن با آنتن مورد استفاده در سیستم‌های مونوپالس کلاسیک مقایسه شده است. با مراجعه به این جدول، مزایای آنتن طراحی شده نسبت به موارد مشابه دیده می‌شوند.



(الف)

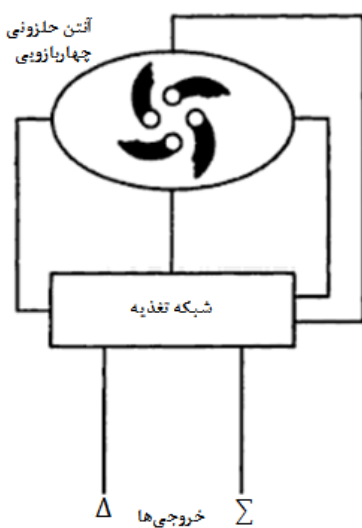


(ب)

شکل ۱۰: الگوهای تشعشعی آنتن در فرکانس ۳ GHz، (الف) حالت مجموع، (ب) حالت تفاضل، (خطوط پیوسته صفحه E و خطوط گسسته صفحه H)

جدول ۱: مقادیر بهره و عمق صفر در صفحه $\phi=0$

فرکانس	۴	۳	۲
بهره در حالت مجموع (dB)	۳/۸۴	۶/۵۸	۵/۲۳
عمق صفر در حالت تفاضل (dB)	۴۰/۰۷	۳۵/۱۸	۲۶/۲۷

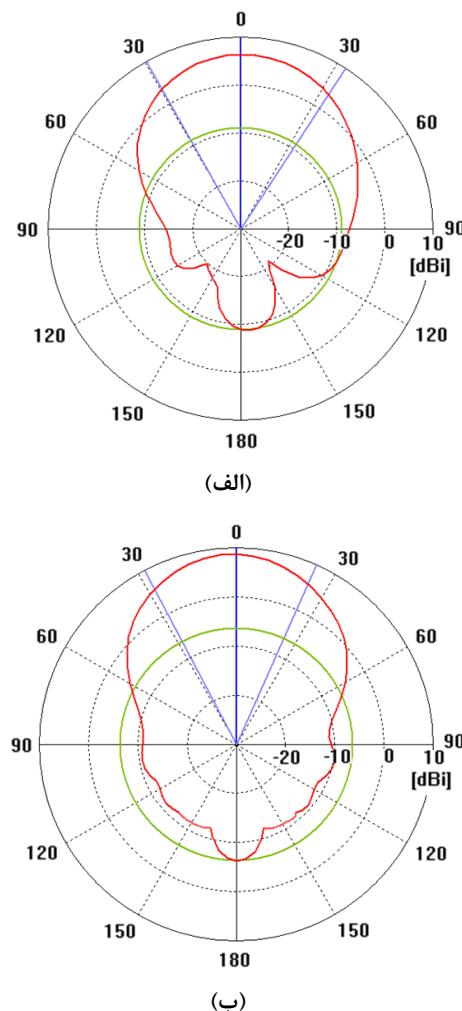


شکل ۱۴: آنتن حلزونی چهاربازویی در یک سیستم جهتیاب مونوپالس [۱۳]

جدول ۲: مقایسه ویژگی‌های آنتن طراحی شده با آنتن مورداستفاده در سیستم‌های مونوپالس کلاسیک

آنتن مورداستفاده در سیستم‌های کلاسیک	آنتن پیشنهادی	پارامتر
حلزونی دوبازویی چهار دستگاه (به صورت آرایه‌ای)	حلزونی چهاربازویی یک دستگاه	نوع آنتن
ایجاد می‌کند (به دلیل آرایه بودن)	ایجاد نمی‌کند	تعداد مورد نیاز در یک سیستم
۱۲۰۰ گرم	۴۰۰ گرم	ایجاد پیچیدگی در سیستم
۵۰×۵۰×۵۰ cm ³	۵۰×۲۰×۲۰ cm ³	وزن تقریبی
۴۰ ساعت	۱۲ ساعت	حجم اشغال شده در سیستم توسط آنتن
معادل چهار دستگاه	معادل یک دستگاه	زمان شبیه‌سازی هزینه

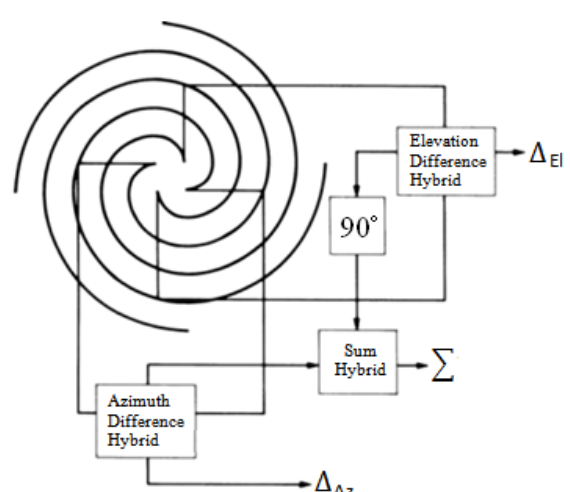
جهتیابی و ردگیری، از اهمیت قابل ملاحظه‌ای برخوردار است.



شکل ۱۲: الگوهای تشعشعی حالت مجموع با استفاده از نرم‌افزار CST در صفحه E (الف) در فرکانس ۲GHz، (ب) در فرکانس ۳GHz

مراجع

- [۱] آزاده ایمانی، جواد نوری‌نیا و چنگیز قبادی، «آنتن دایورسیتی مسطح جدید پهن‌باند جهت استفاده در ارتباطات سیار»، مجله مهندسی برق دانشگاه تبریز، دوره ۴۰، شماره ۲، صفحه ۱۹-۱۳۸۹، ۱۳
- [۲] ایمان مجیدی، حسین همتی و سیدحسن صدیق، «طراحی آنتن چهارتایی شکافی فشرده با قطبش دایروی برای به کارگیری در گیرنده GPS»، مجله مهندسی برق دانشگاه تبریز، دوره ۴۶، شماره ۴، صفحه ۳۰۶-۲۹۹، ۱۳۹۵.
- [۳] داود بصائری، سیدمحمد جواد رضوی و سیدحسین محسنی ارمکی، «تحلیل اثرات صفحه زمین دایروی محدود در آنتن‌های تک‌قطبی سیمی»، مجله مهندسی برق دانشگاه تبریز، دوره ۴۷، شماره ۱، صفحه ۲۱-۲۸، ۱۳۹۶.



شکل ۱۳: کاربرد آنتن طراحی شده در یک مدار مونوپالس [۱۳]

- [8] Jodie M. Bell and Magdy F. Iskander, "A Low-Profile Archimedean Spiral Antenna Using an EBG Ground Plane," *IEEE Antennas and Wireless Propagation Letters*, vol. 3, pp. 223-226, 2004.
- [9] R. G. Corzine and J. A. Mosko, *Four-Arm Spiral Antennas*, Boston: Artech House, 1990.
- [10] J. Volakis, *Antenna Engineering Handbaook*, fourth ed., McGraw-Hill, 2007.
- [11] D. M. Pozar, *Microwave Engineering*, John Wiley & Sons, 2005.
- [12] I. Yildiz, *Design and Construction of Reduced Size Planar Spiral Antenna in the 0.5-18 GHz Frequency Range*, M.Sc. Thesis, Middle East Technical University, October 2004.
- [13] K. F. A.I. Leonov, *Monopulse Radar*, Artech House, 1986.
- [4] T.-Y. Shih and N. Behdad, "A compact, broadband spiral antenna with unidirectional circularly polarized radiation patterns," *IEEE Trans. Antennas and Propagation*, vol. 63, no. 6, pp. 2776 – 2781, 2015.
- [5] John L. Volakis, *Small Antenna: Miniaturization Techniques & Applications*, McGraw Hill, 2010.
- [6] H. Nakano, K. Nogami, S. Arai, and H. Mimaki, "A spiral antenna backed by a conducting plane reflector," *IEEE Trans. Antennas and Propagation*, vol. 34, no. 6, pp. 791-796, 1986.
- [7] H. Nakano, K. Kikkawa, Y. Iitsuka, and J. Yamauchi, "Equiangular Spiral Antenna Backed by a Shallow Cavity," *IEEE Trans. Antennas and Propagation*, vol. 56, no. 8, pp. 2742-2747, 2008.

زیرنویس‌ها¹Spiral Antennas²Circular Polarization³Balun⁴Uni-directional Beam⁵Bi-directional Beam⁶Four-arm Archimedean Spiral Radiator⁷Microstrip⁸Linear Tapering⁹Sum and Difference Radiation Patterns¹⁰Side Lobe¹¹Axial Ratio¹²Mode¹³Null Depth¹⁴Cassiterite¹⁵Coupling